

تحلیل پارامتر ضریب چسبندگی کل و تعیین شرایط بهینه همجوشی کاتالیزور میونی با در نظر

گرفتن مولکول شبه پایدار $d\mu/dt$ *

سید ظفرالله کلانتری و مسلم سوهانی

دانشکده فیزیک، دانشگاه صنعتی اصفهان

(دریافت مقاله: ۷۸/۱۱/۱ دریافت نسخه نهایی: ۷۹/۵/۱۸)

چکیده

یکی از فرایندهایی که به تازگی در چرخه همجوشی کاتالیزور میونی D/T مطرح شده است، حالت شبه پایدار مولکول $d\mu/dt$ است. در این مقاله با حل سینماتیکی چرخه CF/μ برای سوخت D/T اثر مولکول شبه پایدار $d\mu/dt$ را روی پارامترهای مهم CF/μ بررسی کرده ایم. تحلیل پارامتر μ نشان می دهد که در محاسبات مربوط به چرخه حاوی حالت شبه پایدار، باید به جای پارامتر μ از پارامتر P استفاده شود. برای این منظور روشی برای برآورده کلی پارامتر ضریب چسبندگی کل را با در نظر گرفتن مولکول شبه پایدار استخراج کرده ایم و در شرایط مختلف غلظت تریتیوم با فرمول ارائه شده توسط جونز مقایسه شده است. همچنین کمیتهای آهنگ چرخه و بهره همجوشی با در نظر گرفتن چرخه حاوی حالت شبه پایدار محاسبه شده است. نتایج به دست آمده با نتایج محاسبات بدین در نظر گرفتن حالت شبه پایدار مقایسه شده است و درنهایت با نتایج تجربی مورد مقایسه قرار گرفته است. سپس شرایط بهینه دما، چگالی و غلظت ایزوتوپهای هیدروژن را برای بهره همجوشی در چرخه حاوی حالت شبه پایدار به دست آورده ایم.

واژه های کلیدی: همجوشی کاتالیزور میونی، ضریب چسبندگی، مولکول شبه پایدار

۱. مقدمه

یکی از مسائلی که در همجوشی کاتالیزور میونی مطرح بوده است، مساله D/T نام دارد. در یک مخلوط سوخت D/T کسری از میونهایی که در حالتی برانگیخته اتمی دوتربیوم تشکیل می شوند، قبل از اینکه به حالت پایه برسند، می توانند به تریتیوم منتقل شوند. احتمال رسیدن میون به حالت پایه دوتربیوم را با μ نمایش می دهند [۱ و ۲]. با توجه به این که انتقال میون در حالتی برانگیخته، خیلی سریع انجام می شود، μ می تواند در آهنگ چرخه (λ) اثر بگذارد. بر عکس،

$$\left\{ \begin{array}{l} t\mu(2s) + D_2 \rightarrow \left[(dt\mu)^* d^2e \right] \\ t\mu(2s) + DT \rightarrow \left[(dt\mu)^* t^2e \right] \end{array} \right. \quad (1)$$

این مولکول با بهره زیادی ($s^{-1} \times 10^{11}$) تشکیل می شود [۷] و به دلیل برانگیختگی بالایی که دارد، با بهره کمی ($s^{-1} \times 10^8$) همچو شی انجام می دهد [۸]. لذا می تواند به اتمهای دوتربیوم و تربیتیوم تجزیه شود.

$$\left\{ \begin{array}{l} (dt\mu)^* \rightarrow t\mu(1s) + d \\ (dt\mu)^* \rightarrow d\mu(1s) + t \end{array} \right. \quad (2)$$

در کanal اول اتمهای تربیتیوم در حالت پایه تربیتیوم ($t\mu(1s)$) تشکیل می شوند. در کanal دوم اتمهای دوتربیوم در حالت پایه ($d\mu(1s)$) تشکیل می شوند. نسبت بین آهنگ فرایندهای (a-۲) و (b-۲) به ترتیب ۱ به ۹ است [۷]. چرخه کامل فرایندهای زنجیره ای کاتالیزور میونی با در نظر گرفتن

حالت مولکول شبه پایدار در شکل ۱ ارایه شده است.

همان طور که مشاهده می شود، با ورود میون به مخلوط سوخت D/T، ابتدا اتمهای برانگیخته $d\mu$ و $t\mu$ می شوند که سریعاً به حالتی پاییتر و انگیخته می شوند. در طی و انگیخته شدن، میون می تواند به تربیتیوم منتقل شود. با تشکیل اتمهای میون دار در حالت پایه فرایندهای تشکیل مولکول $dd\mu$ ، $dt\mu$ و $tt\mu$ اتفاق می افتد و البته مولکول شبه پایدار نیز می تواند از برخورد ($2s$) با مولکوهای D_2 و DT تشکیل شود. در این مولکولهاست که فرایند همچو شی بین هسته ها رخ می دهد. در شکل ۱ آهنگ انجام هر فرایند با λ مشخص شده است و c_d و c_t به ترتیب کسر غلظت دوتربیوم و تربیتیوم است که در رابطه زیر صدق می کنند.

$$c_d + c_t = 1 \quad (3)$$

همچنین α معرف ضرایب چسبندگی موثر میون به ذرات α حاصل از همچو شی هستند.

با استفاده از چرخه ارایه شده در شکل ۱ سینماتیک حاکم بر جمعیتهای مختلف اتمی و مولکولی میون دار به صورت دستگاه معادلات دیفرانسیل جفت شده به دست می آید. معادلات سینماتیکی براساس شکل کلی زیر نوشته می شود.

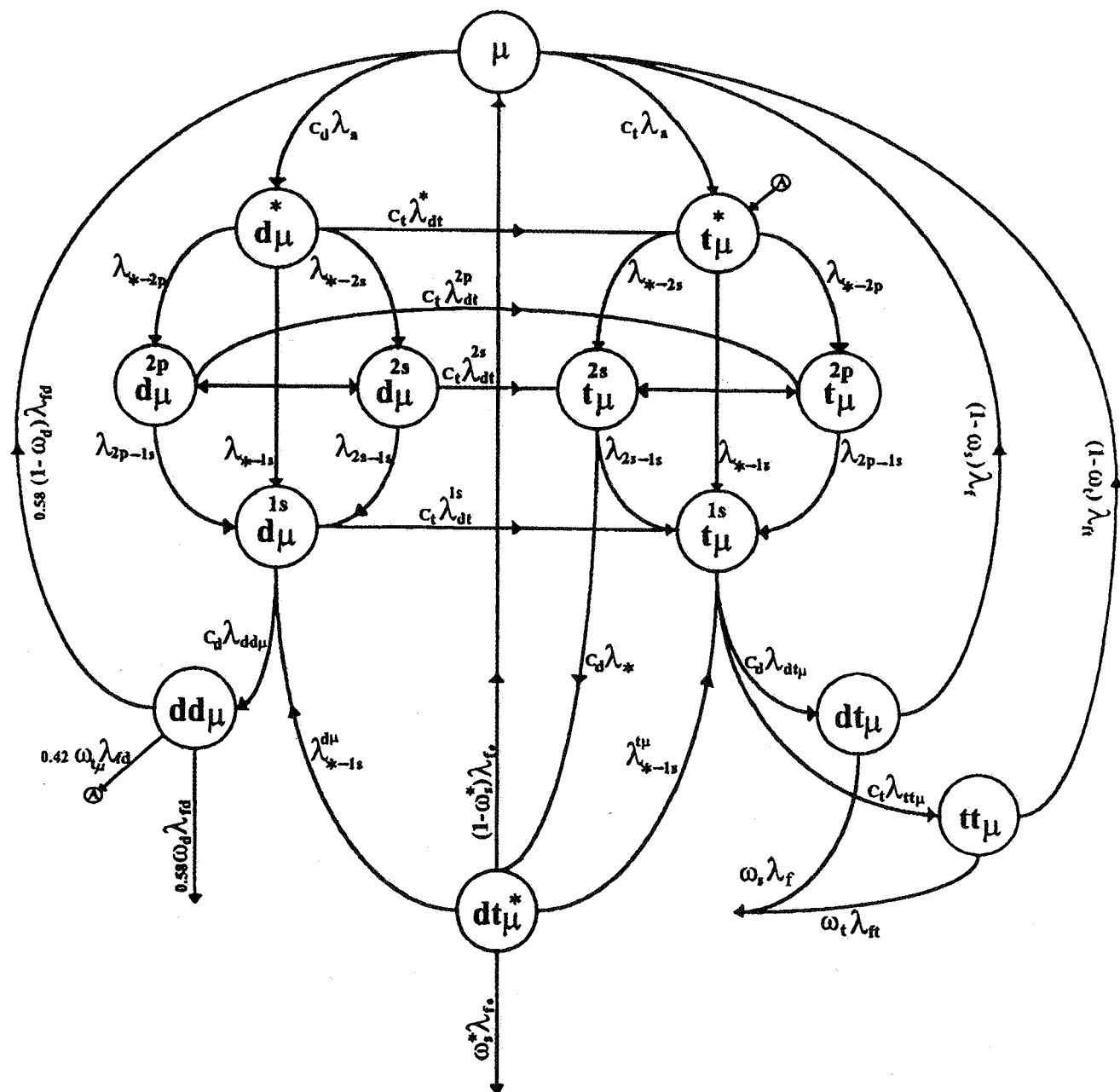
$$\frac{dp_n(t)}{dt} = \sum_i p_i(t) \lambda_{i \rightarrow n} - \sum_j p_n(t) \lambda_{n \rightarrow j} - p_n(t) \lambda_0 \quad (4)$$

خواهد آمد. یکی از فرایندهایی که به تازگی در چرخه سوخت D/T توسط فرولیچ و والنیوس مطرح شده است، حالت شبه پایدار مولکول $d\mu$ است [۳]. آنها پیشنهاد کرده اند که حالت شبه پایدار مولکول $d\mu(2s)$ با مولکولهای D_2 و DT با آهنگ بالایی به وجود می آید و پس از تشکیل می تواند به ($1s$) $d\mu$ واپاشی کند که در این صورت یک کanal برگشت جمعیت میونها از تربیتیوم به حالت ($1s$) $d\mu$ را به وجود می آورد. نشان داده ایم که مفهوم پارامتر q_{1s} در چرخه حاوی از پارامتر P ، که کسر جمعیت رسیده به حالت ($1s$) $d\mu$ است، استفاده شود.

در این مقاله ضمن ارایه روشی برای حل معادلات سینماتیکی حاکم بر چرخه همچو شی، پارامترهای مهم در μ CF، مثل q_{1s} ، P و بهره چرخش میون به طور مستقیم با استفاده از جواب معادلات سینماتیکی چرخه به دست آمده اند. سپس با استفاده از آنها آهنگ چرخه (λ) و ضریب چسبندگی کل (W) محاسبه شده است. محاسبات برای دو چرخه حاوی حالت شبه پایدار و چرخه فاقد آن انجام شده است و نتایج با یکدیگر مقایسه شده اند.

با بررسی و تحلیل پارامتر ضریب چسبندگی کل اثر حالت شبه پایدار را در W و λ لاحظ کرده ایم. در نهایت نتایج به دست آمده با نتایج تجربی مورد مقایسه قرار گرفته اند. نشان داده ایم که محاسبات براساس چرخه حاوی حالت شبه پایدار به نتایج تجربی نزدیکترند. در آخر شرایط بهینه دما، چگالی و غلاظت ایزوتوپهای هیدروژن را برای رسیدن به بهره بیشتر همچو شی کاتالیزور میونی براساس چرخه کاملتر شامل مولکول شبه پایدار به دست آورده ایم.

۲. اثر حالت شبه پایدار مولکول $d\mu$ در سینماتیک μ CF محاسبات نظری مقدار q_{1s} را کمتر از مقادیر تجربی نشان داده است [۵] به طوری که این موضوع به صورت مسئله پارامتر q_{1s} مطرح است [۶]. در سال ۱۹۹۵ فرولیچ و والنیوس به طور نظری وجود یک حالت شبه پایدار را در مولکول $d\mu$ پیشنهاد کردند. آنها نشان دادند که یک حلقة جدید در چرخه واکنشهای زنجیره ای μ CF در مخلوط D/T وجود دارد که می تواند به مقدار زیادی جمعیت اضافه موجود در ($1s$) $d\mu$ را توجیه کند [۳]. این فرایند توسط برخورد اتمهای ($2s$) $d\mu$ با مولکولهای D_2 و DT انجام می شود و در اثر آن مولکول شبه پایدار $d\mu$ تولید



شکل ۱. چرخه همجوشی کاتالیزور میونی برای سوخت D/T با در نظر گرفتن حالت شبیه پایدار مولکول $d\mu$

مایع است).

$$\frac{dp_\mu}{dt} = -(\lambda_a + \lambda_0)p_\mu + (1 - 0.5\omega_d - 0.42\omega_{t\mu})\lambda_{fd}p_{dd\mu} +$$

$$(1 - \omega_s)\lambda_f p_{dt\mu} + (1 - \omega_t)\lambda_{ft} p_{tt\mu}$$

$$\frac{dp_{d\mu^*}}{dt} = -(\lambda_{* \rightarrow 2p} + \lambda_{* \rightarrow 2s} + \lambda_{* \rightarrow 1s} + c_t \lambda_{dt}^* + \lambda_0)p_{d\mu^*}$$

که در آن p_n جمعیت اتمی یا مولکولی در حالت n و λ ها آهنگهای فرایندهای زنجیره‌ای در چرخه هستند. آهنگ بعضی از فرایندها علاوه بر نوع فرایند، به غلظت ایزوتوپهای هیدروژن نیز بستگی دارد. λ های به کار رفته نسبت به چگالی هیدروژن مایع بهنجار شده‌اند و اثر چگالی محیط می‌تواند با ضرب ϕ در λ ها در نظر گرفته شود که در آن $\phi = \frac{N}{N_0}$ است (N چگالی ذرات محیط و $N_0 = 4 \times 10^{22} \text{ cm}^{-3}$ چگالی ذرات برای هیدروژن

$$\frac{dp_{tt\mu}}{dt} = -(\lambda_{ft} + \lambda_0)p_{tt\mu} + c_t \lambda_{tt\mu} p_{t\mu(1s)} \quad (5)$$

هر چند که در شکل ۱ و معادلات سینماتیکی فوق حالت‌های برانگیخته اتمی $n \geq 3$ با $d\mu^*$ مشخص شده است ولی در محاسبات، حالت‌های برانگیخته اتمی برای $n=5$ تفکیک شده است. حالت‌های بالاتر از $n=5$ سریعاً به این حالت والانگیخته می‌شوند [۳].

با حل این دستگاه معادلات جمعیت‌های ذرات درگیر در همچوشی به صورت تابعی از زمان به دست می‌آیند. با توجه به این که محاسبات در قسمت‌های بعدی این مقاله به ازای یک میون انجام می‌گیرد و یک میون نیز در طول عمر کوتاه خود ($\sim 2/\mu s$) نمی‌تواند به عنوان کاتالیزور برای بیش از چند صد همچوشی به کار رود، لذا تعداد اتمهای دوترویم و تریتیوم محیط که از مرتبه cm^{-3} ~۱۰^{۲۲} اند، در طی محاسبه تغییر محسوسی نخواهد داشت. پس مقادیر c_d و c_t را می‌توان ثابت در نظر گرفت. بنابراین معادلات (۵) یک دستگاه معادلات دیفرانسیل جفت شده خطی هستند و ما از روش ماتریسی برای حل آنها استفاده کرده‌ایم [۹].

۳. تحلیل پارامتر q_{1s}

یکی از فرایندهای بسیار مهم در μCF ، انتقال میون از ایزوتوپ سبکتر به ایزوتوپ سنگیتر است. این فرایند به دلیل این که میون در ایزوتوپ سنگیتر محدود‌تر است، به صورت زیر انجام می‌گیرد [۱۰].

$$(d\mu)_n + t \rightarrow t\mu + d + \frac{48}{n^2} eV \quad (6)$$

که در آن n حالت برانگیختگی اتم را مشخص می‌کند. این فرایندها در حالت‌های برانگیخته اتم $d\mu$ خیلی سریعتر از حالت پایه اتفاق می‌افتد. در ترازهای بسیار برانگیخته که طول عمر کوتاهی دارند، آهنگ این انتقالات از مرتبه $10^{12}s^{-1}$ ~ است [۱۰] در حالی که این آهنگ در حالت پایه به مقدار $3 \times 10^8 s^{-1}$ کاهش می‌یابد. بنابراین تعدادی از میون‌ها قبل از رسیدن به حالت پایه دوترویم، به تریتیوم منتقل می‌شوند. احتمال رسیدن میون به حالت پایه دوترویم، بعد از تشکیل اتمهای $d\mu$ را با q_{1s} نشان می‌دهند. مقادیر q_{1s} که هم به صورت نظری و هم به صورت تجربی به دست می‌آیند، با یکدیگر همخوانی ندارند و این به صورت یک مساله و مشکل در μCF در

$$+ c_d \lambda_a p_\mu$$

$$\frac{dp_{d\mu(2p)}}{dt} = -(\lambda_{2p \rightarrow 1s} + \lambda_{2p \rightarrow 1s} + c_t \lambda_{dt}^{2p} +$$

$$+ \lambda_{* \rightarrow 2p} p_{d\mu(2p)} + \lambda_{* \rightarrow 2p} p_{d\mu(2p)} + \lambda_{2s \rightarrow 2p} p_{d\mu(2s)}$$

$$\frac{dp_{d\mu(2s)}}{dt} = -(\lambda_{2s \rightarrow 2p} + \lambda_{2s \rightarrow 1s} + c_t \lambda_{dt}^{2s} + \lambda_0 p_{d\mu(2s)})$$

$$+ \lambda_{* \rightarrow 2s} p_{d\mu(2s)} + \lambda_{2p \rightarrow 2s} p_{d\mu(2p)}$$

$$\frac{dp_{d\mu(1s)}}{dt} = -(c_d \lambda_{dd\mu} + c_t \lambda_{dt}^{1s} + \lambda_0) p_{d\mu(1s)} + \lambda_{* \rightarrow 1s} p_{d\mu(1s)} +$$

$$\lambda_{2p \rightarrow 1s} p_{d\mu(2p)} + \lambda_{2s \rightarrow 1s} p_{d\mu(2s)} + \lambda_{* \rightarrow d\mu(1s)} p_{d\mu(1s)}$$

$$\frac{dp_{dd\mu}}{dt} = -(\lambda_{fd} + \lambda_0) p_{dd\mu} + c_d \lambda_{dd\mu} p_{d\mu(1s)}$$

$$\frac{dp_{t\mu^*}}{dt} = -(\lambda_{* \rightarrow 2p} + \lambda_{* \rightarrow 2s} + \lambda_{* \rightarrow 1s} + \lambda_0) p_{t\mu^*}$$

$$+ c_t \lambda_a p_\mu + c_t \lambda_{dt}^{*} p_{d\mu^*} + \omega_{t\mu} \lambda_{fd} p_{dd\mu}$$

$$\frac{dp_{t\mu(2p)}}{dt} = -(\lambda_{2p \rightarrow 2s} + \lambda_{2p \rightarrow 1s} + \lambda_0) p_{t\mu(2p)}$$

$$+ \lambda_{* \rightarrow 2p} p_{t\mu(2p)} + \lambda_{2s \rightarrow 2p} p_{t\mu(2s)} + c_t \lambda_{dt}^{2p} p_{d\mu(2p)}$$

$$\frac{dp_{t\mu(2s)}}{dt} = -(\lambda_{2s \rightarrow 2p} + \lambda_{2s \rightarrow 1s} + \lambda_0 + \lambda_c) p_{t\mu(2s)}$$

$$+ \lambda_{* \rightarrow 2s} p_{t\mu(2s)} + \lambda_{2p \rightarrow 2s} p_{t\mu(2p)} + c_t \lambda_{dt}^{2s} p_{d\mu(2s)}$$

$$\frac{dp_{dt\mu^*}}{dt} = -(\lambda_{* \rightarrow t\mu(1s)} + \lambda_{* \rightarrow d\mu(1s)} + \lambda_f^* + \lambda_0) p_{dt\mu^*} +$$

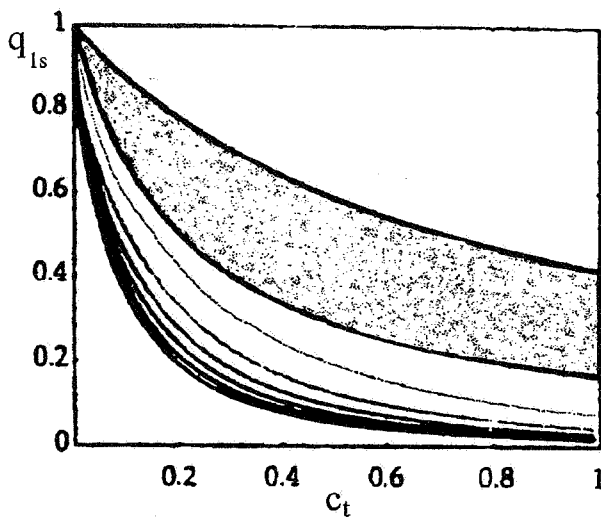
$$\lambda_* c_d p_{t\mu(2s)}$$

$$\frac{dp_{t\mu(1s)}}{dt} = -(c_d \lambda_{dt\mu} + c_t \lambda_{tt\mu} + \lambda_0) p_{t\mu(1s)} +$$

$$\lambda_{* \rightarrow 1s} p_{t\mu(1s)} + \lambda_{2p \rightarrow 1s} p_{t\mu(2p)} + \lambda_{2s \rightarrow 1s} p_{t\mu(2s)} +$$

$$c_t \lambda_{dt}^{1s} p_{d\mu(1s)} + \lambda_{* \rightarrow t\mu(1s)} p_{dt\mu^*}$$

$$\frac{dp_{dt\mu}}{dt} = -(\lambda_f + \lambda_0) p_{dt\mu} + c_d \lambda_{dt\mu} p_{t\mu(1s)}$$



شکل ۲. نمودار مقایسه بین نتایج محاسبه شده و نتایج تجربی (ناحیه سایه خورده) برای پارامتر q_{1s} که در مرجع [۲] ارایه شده است به صورت تابعی از C_t در چگالیهای $1/0$ تا $1/2$ (ϕ از بالا به پایین).

کمیت دیگری که معرفی می‌شود، کسر جمعیت رسیده به حالت $(1s)^{d\mu}$ است که به صورت زیر به دست می‌آید:

$$P_{1s} = \lim_{t \rightarrow \infty} \frac{\rho_{d\mu(1s)}}{\rho_a} \quad (10)$$

که در آن داریم:

$$\rho_a = \int_0^\tau p_\mu(t) \lambda_a dt \quad (11)$$

ρ_a عبارت است از کل جمعیت تشکیل شده در اتمهای میون دار تا زمان τ . مشاهده می‌شود که ارتباط بین P_{1s} و q_{1s} به صورت زیر است:

$$q_{1s} = \frac{P_{1s}}{c_d} \quad (12)$$

نکتهٔ حائز اهمیت این است که این تعاریف برای چرخه‌های فاقد حالت شبیه پایدار مولکول $d\mu$ ارایه شده‌اند.

اکنون به بررسی تعاریف پارامترهای q_{1s} و P_{1s} برای چرخهٔ حاوی حالت شبیه پایدار می‌پردازیم. با توجه به این که با در نظر گرفتن حالت شبیه پایدار، درصدی از میون‌های موجود در شاخهٔ تریتیوم به حالت پایه دوتربیوم مستقل می‌شوند، وجود این حالت احتمال رسیدن میون به حالت پایه دوتربیوم را افزایش می‌دهد. این موضوع مستقل از پذیدهٔ انتقال میون از دوتربیوم به

مطرح بوده است (شکل ۲) [۵].

مانند پرساس حل سینماتیک چرخهٔ CF^{μ} روشی برای به دست آوردن پارامتر q_{1s} ارایه کردند. میون‌های ورودی به محیط D/T با گذشت زمان بارها چرخهٔ را طی می‌کنند و درنهایت واپاشی می‌کنند. اگر تعداد کل جمعیت رسیده به حالت $(1s)^{d\mu}$ را در طی این زمان حساب کنیم و بر کل جمعیت رسیده به اتمهای برانگیختهٔ μ در همین زمان تقسیم کنیم، همان مفهوم q_{1s} را خواهد داشت. جمعیت رسیده به یک حالت مشخص، مثل n به طور کلی از حالت‌های دیگر، مثل m حاصل می‌شود. پس برای محاسبهٔ کل این جمعیت تا زمان τ داریم:

$$\rho_n = \sum_f \int_0^\tau p_f(t) \lambda_{f \rightarrow n} dt \quad (7)$$

که در آن $p_f(t)$ جمعیت لحظه‌ای هر حالت f و ρ_n جمعیت رسیده به حالت n تا زمان τ است.

به عنوان مثال اگر از چرخهٔ شکل ۱ بدون حالت شبیه پایدار استفاده شود، جمعیت رسیده به حالت $(1s)^{d\mu}$ از رابطهٔ زیر به دست می‌آید.

$$\rho_{d\mu(1s)} = \int_0^\tau \sum_i p_{d\mu(i)}(t) \lambda_{i \rightarrow 1s} dt + \int_0^\tau p_{d\mu(2s)}(t) \lambda_{2s \rightarrow 1s} dt + \int_0^\tau p_{d\mu(3s)}(t) \lambda_{3s \rightarrow 1s} dt \quad (8)$$

که در آن λ معرف ترازهای برانگیختهٔ $n \geq 3$ است. $d\mu$ اتم n است. جمعیت لحظه‌ای هر حالت f از سینماتیک CF^{μ} و حل دستگاه معادلات (۵) به دست می‌آید. پس برای پارامتر q_{1s} داریم:

$$q_{1s} = \lim_{t \rightarrow \infty} \frac{\rho_{d\mu(1s)}}{\rho_a^{d\mu}} \quad (9)$$

که در آن $\rho_a^{d\mu} = \int_0^\tau p_\mu(t) c_d \lambda_a dt$ است. $\tau \rightarrow \infty$ را می‌توان زمانی به اندازهٔ کافی بزرگ ذر نظر گرفت که تا آن زمان همهٔ میون‌ها واپاشی کرده باشند. در این مقاله زمان $1s = \tau$ به عنوان زمان بینهایت نسبت به عمر متوسط میون ($2/\mu s$) در نظر گرفته شده است. به این ترتیب مقدار q_{1s} به طور مستقیم محاسبه می‌شود. نتایج محاسبات مقدار q_{1s} به صورت تابعی از C_t در شکل ۳ نشان داده شده است. مشاهده می‌شود که نتایج محاسبات مانند نسبت به نتایج تجربی کمتر به دست آمده است.

چسبیدن میون به ذره α ی حاصل از همجوشی است. احتمال انجام این فرایند با عنوان ضریب چسبندگی ذاتی به کار می‌رود و با $\omega_{d\mu}$ نشان داده می‌شود [۱ و ۱۱]. علاوه بر این در اثر برخورد ذره $\alpha_{d\mu}$ با اتمهای محیط، میون چسبیده می‌تواند دوباره آزاد شود. احتمال آزادسازی با پارامتر R مشخص می‌شود، به طوری که ضریب چسبیدگی موثر از رابطه زیر به دست می‌آید [۱۲]:

$$\omega = \omega_0(1-R) \quad (13)$$

از آنجایی که در مخلوط سوت D/T سه نوع همجوشی متفاوت با ضرایب چسبندگی مختلف انجام می‌شود، می‌توان پارامتری تحت عنوان ضریب چسبندگی کل معرفی کرد که در مجموع نحوه اثر و سهم هر یک از چسبندگیها را در چرخه نشان دهد. این پارامتر توسط جوزن به صورت زیر مشخص شده است [۱۳]:

$$w = \omega_s + \frac{c_d q_{1s}}{\lambda_{dt} c_t + \lambda_{dd\mu} c_d} (0.58 \lambda_{dd\mu} c_d \omega_d) + \frac{1}{\lambda_{dt\mu} c_d} (\lambda_{tt\mu} c_t \omega_t) \quad (14)$$

که در آن ω_s ، ω_t و ω_d ضرایب چسبندگی موثر به ترتیب بعد از همجوشی در مولکولهای $d\mu$ ، $dt\mu$ و $dd\mu$ است و خود آنها نیز به چگالی محیط (ϕ) وابسته هستند [۱۴].

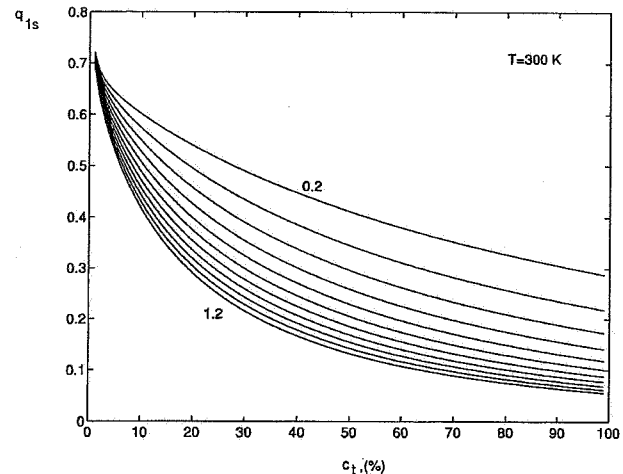
با توجه به این که در این رابطه متظور از $c_d q_{1s} P_{1s}$ بوده است؛ لذا بهتر است در رابطه (۱۴) مستقیماً از مفهوم اصولی تر P_{1s} استفاده شود و مقدار چسبندگی کل را، با محاسبه مقدار P_{1s} از سینماتیک چرخه، به دست آورد. رابطه شامل تقریبایی است که در ادامه به آن می‌پردازیم.

پارامتر مهم دیگر آهنگ چرخه (χ) است که عبارت است از تعداد دفعاتی که میون می‌تواند در واحد زمان چرخه را طی نماید. یکی از راههای محاسبه این کمیت استفاده از پارامتر بهره چرخش میون (χ) است. این پارامتر تعداد همجوشی‌های انجام شده توسط یک میون را نشان می‌دهد [۱ و ۱۱].

$$\chi = \left(\frac{\lambda}{\lambda_c} + w \right)^{-1} \quad (15)$$

این پارامتر را می‌توانیم توسط حل سینماتیک چرخه مستقیماً از رابطه زیر

$$\chi = \frac{\int_{0}^{\infty} \sum_{ij} \lambda_{f_{ij}} p_{ij\mu} dt}{p_{\mu}(0)}$$



شکل ۳. نمودار تغییرات مقدار پارامتر q_{1s} بر حسب غلظت تریتیوم و در چگالیهای مختلف از $0 \leq d\mu \leq 1/2$ (از بالا به پایین)، که در این تحقیق محاسبه شده است.

تریتیوم در ترازهای برانگیخته دوتریوم است. لذا ممکن است میونی در ابتدا در یک اتم تریتیوم مقید شود، ولی درنهایت توسط مکانیزم مسیر جانبی حالت شبه پایدار، به حالت (۱۵) $d\mu$ بررسد. بنابراین تعریف قبلی q_{1s} اعتبار تخریب داشت. به عبارت دیگر رابطه (۱۲) دیگر برقرار نیست و نمی‌توان P_{1s} را با ضرب کردن غلظت دوتریوم در q_{1s} به دست آورد. اما P_{1s} هنوز مفهوم خود را دارد و می‌توان در چرخه حاوی حالت شبه پایدار از رابطه (۱۰) استفاده کرد، به شرط این که در نوشتن صورت کسر از رابطه (۸) برای $P_{d\mu}$ جمله $\int_{0}^{\tau} p_{dt\mu}^*(t) \lambda_{* \rightarrow d\mu(1s)} dt$ به باقی جملات اضافه شود.

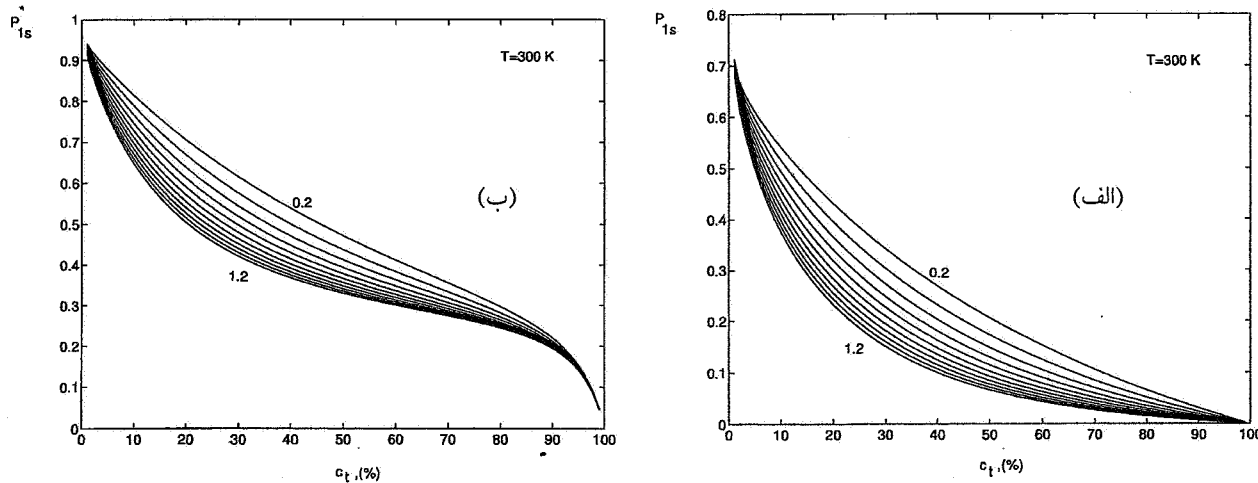
بنابراین برای محاسبه کمیتهای دیگری مثل λ_c و w که در قسمتهای بعدی معرفی می‌شوند، می‌توان P_{1s} را مستقیماً از حل سینماتیک چرخه به دست آورد.

شکل ۴ مقادیر به دست آمده برای کسر جمعیت رسیده به حالت (۱۵) $d\mu$ را در دو چرخه حاوی حالت شبه پایدار (P_{1s}^*) و فاقد آن (P_{1s}) نسبت به c_1 نشان می‌دهد. مشاهده می‌گردد که وجود حالت شبه پایدار، همان طور که انتظار داریم، مقادیر P_{1s} را افزایش داده است. شایان ذکر است که مقادیر آهنگ واکنشهایی که در حل معادلات سینماتیکی استفاده کردہایم در جدول ۱ ارایه شده‌اند.

۴. اثر حالت شبه پایدار مولکول $d\mu$ در ضریب چسبندگی کل یکی از عوامل محدود کننده بهره همجوشی کاتالیزور میونی،

جدول ۱ مقادیر ثابت‌های سینماتیکی چرخه همجوشی کاتالیزور میونی. تمام آنها نسبت به چگالی هیدروژن مایع نرمالیزه هستند

فرایند	نماد	مقدار
آهنگ واپاشی میون	λ_0	$4/545 \times 10^5 \text{ s}^{-1}$ [۱۸]
آهنگ تشکیل اتمهای میوندار در حالت‌های بسیار برانگیخته	λ_a	$3/9 \times 10^{12} \text{ s}^{-1}$ [۱۸]
آهنگ والنگیخته شدن اتمهای میوندار $d\mu$ و μ	λ_{i-f}	[۳]
آهنگ انتقال میون در حالت پایه	λ_{dt}	$2/8 \times 10^8 \text{ s}^{-1}$ [۱۸]
آهنگ انتقال میون از حالت‌های برانگیخته	λ_{dt}^*	[۱۹]
آهنگ تشکیل مولکولهای میوندار در دمای ۳۰۰ K		
	$\lambda_{d\mu d}$	$2/8 \times 10^6 \text{ s}^{-1}$ [۱۷]
	$\lambda_{d\mu-d}$	$0/7 \times 10^8 \text{ s}^{-1}$ [۴]
	$\lambda_{d\mu-t}$	$4/7 \times 10^8 \text{ s}^{-1}$ [۴]
	$\lambda_{t\mu}$	$1/8 \times 10^6 \text{ s}^{-1}$ [۱۸]
	λ_*	$1 \times 10^{11} \text{ s}^{-1}$ [۵]
آهنگ تجزیه شدن مولکول شبه پایدار	$\lambda_{*-1s}^{d\mu}$	$1 \times 10^{11} \text{ s}^{-1}$ [۵]
	$\lambda_{*-1s}^{t\mu}$	$0/11 \times 10^{11} \text{ s}^{-1}$ [۵]
آهنگ همجوشی	λ_{fd}	$0/31 \times 10^9 \text{ s}^{-1}$ [۱۸]
	λ_f	$1/2 \times 10^{12} \text{ s}^{-1}$ [۱۸]
	λ_{ft}	$1/5 \times 10^7 \text{ s}^{-1}$ [۱۸]
	λ_{f^*}	$5 \times 10^8 \text{ s}^{-1}$ [۱۵]
ضریب چسبندگی مؤثر	ω_d	٪ ۱۲ [۱۸]
	ω_s	٪ ۰/۴۳ [۱۶]
	ω_t	٪ ۱۴ [۱۸]



شکل ۴. نمودار تغییرات مقدار P_{1s} به صورت تابعی از غلظت تریتیوم در دو چرخه فاقد حالت شبه پایدار (الف) و چرخه حاوی حالت شبه پایدار (ب) در چگالیهای $1/2$ تا $1/2$ تا ϕ (از بالا به پایین)، در دمای ۳۰۰ K.

$$\text{که در آن } \alpha \text{ و } \omega \text{ معرف ایزوتوپهای هیدروژن (d,t) است محاسبه کنیم.}$$

$$P_{d \rightarrow s}^* = \frac{c_d \lambda_{dd\mu} \cdot / 58}{c_d \lambda_{dd\mu} + c_t \lambda_{dt}} \omega_d$$

اُ حاصل از همچوشی در
مولکول $dd\mu$

$$(16)$$

$$P_{t \rightarrow s}^* = \frac{c_d \lambda_{dt\mu} \omega_s + c_t \lambda_{tt\mu} \omega_t}{c_d \lambda_{dt\mu} + c_t \lambda_{tt\mu}}$$

اُ حاصل از همچوشی در
مولکولهای $dt\mu$ و $tt\mu$

$$(17)$$

$$P_{d \rightarrow s}^* = \frac{c_d \lambda_* \cdot 4 / 48 \times 10^{-3}}{c_d \lambda_* + \lambda_{s \rightarrow s}} \omega_s^*$$

اُ حاصل از همچوشی در
مولکول $dt\mu^*$

$$(18)$$

که در آن $P_{d \rightarrow s}^*$ کسر جمعیت رسیده به حالت‌های مورد نظر با استفاده از چرخهٔ حاوی مولکول شبه پایدار و ω_s^* ضریب چسبندگی موثر بعد از همچوشی در مولکول $dt\mu^*$ است. همچنین احتمال انجام همچوشی در مولکول شبه پایدار $10^{-3} / 48 \times 10^{-3}$ است. پس داریم:

$$\omega^* = P_{d \rightarrow s}^* \frac{c_d \lambda_{dd\mu} \cdot / 58}{c_d \lambda_{dd\mu} + c_t \lambda_{dt}} \omega_d + P_{t \rightarrow s}^* \frac{c_d \lambda_{dt\mu} \omega_s + c_t \lambda_{tt\mu} \omega_t}{c_d \lambda_{dt\mu} + c_t \lambda_{tt\mu}} + P_{t \rightarrow s}^* \frac{c_d \lambda_* \cdot 4 / 48 \times 10^{-3}}{c_d \lambda_* + \lambda_{s \rightarrow s}} \omega_s^*$$

$$(20)$$

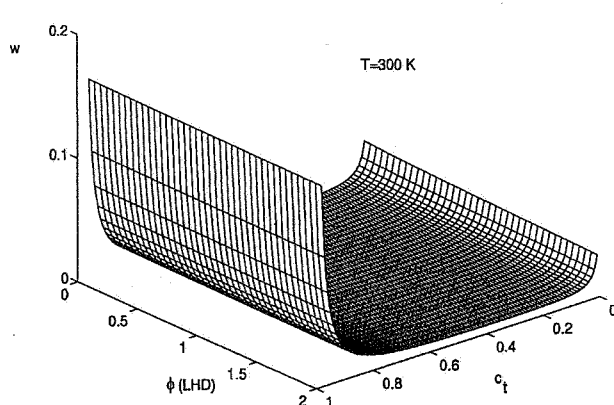
که در آن ω^* ضریب چسبندگی کل با در نظر گرفتن اثرات مولکول شبه پایدار و بدون تقریب است. لازم به ذکر است که اگر در رابطه فوق اثر مربوط به مولکول شبه پایدار را حذف کنیم و در حالتی که مقادیر c_t و c_d خیلی کم و یا خیلی زدیک به یک نباشد تقریبهای $c_t \lambda_{dt\mu} < c_d \lambda_{dd\mu}$ و $c_t \lambda_{tt\mu} \approx 1$ را به کار ببریم داریم:

$$\omega = \omega_s + \frac{P_{d \rightarrow s}}{\lambda_{ct} c_t + \lambda_{dd\mu} c_d} (\cdot / 58 \lambda_{dd\mu} c_d \omega_d)$$

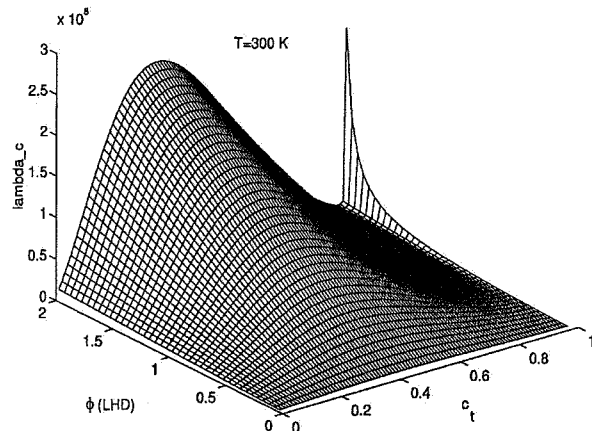
از طرفی w نیز مستقیماً از رابطه (14) با استفاده از مقدار $P_{d \rightarrow s}$ به دست می‌آید. سپس از معادله (15) محاسبه می‌شود. مقادیر ضریب چسبندگی کل و آهنگ چرخه با در نظر گرفتن حالت شبه پایدار در چگالیها و غلظتها مختلف و برای ماههای مختلف را به دست آورده‌ایم که یک نمونه از آن در دمای $K = 300$ در شکل‌های ۵ و ۶ نشان داده شده است.

مشاهده می‌گذرد که برگشته به سمت بالا در نمودارهای پارامتر λ در غلظتها زیاد تریتیوم و چگالیهای بزرگ به دست می‌آید. بروز این افزایش ناگهانی در آهنگ چرخه؛ آن هم در جایی که انتظار می‌رود که با کاهش نقش مولکول $dt\mu$ در همچوشهای چرخه، شاهد کاهش آهنگ چرخه باشیم؛ ناشی از افزایش بیش از انتظار ضریب چسبندگی کل در این شرایط است. این افزایش در حقیقت ناشی از تقریبهایی است که در رابطه (14) به کار برده شده است که در ادامه به آن می‌پردازیم. همچنین می‌دانیم که همچوشی در حالت شبه پایدار با آهنگ $\lambda = 5 \times 10^{-8}$ انجام می‌شود [15]. نکته قابل تأمل این است که آیا هنوز می‌توان از رابطه (14) با فرض وجود مولکول شبه پایدار استفاده کرد؟ در غیر این صورت چگونه می‌توان اثرات این حالت را روی این پارامتر به دست آورد؟ با توجه به مطالب فوق ما در ادامه این مقاله به استخراج کامل ضریب چسبندگی کل و تصحیح آن پرداخته‌ایم.

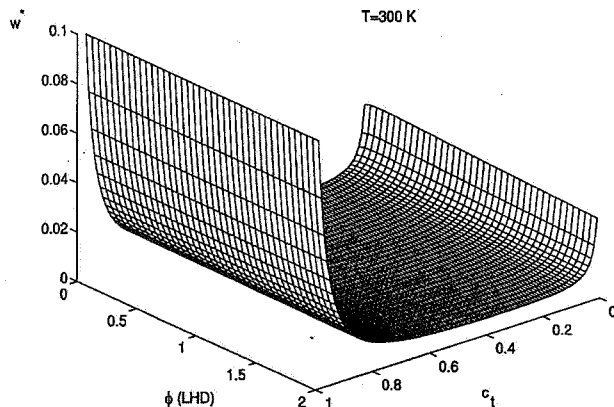
برای محاسبه ضریب چسبندگی کل باید سهم چسبندگی میون به ذره α ناشی از همچوشی در مولکولهای مختلف $dd\mu$ ، $dt\mu$ و $tt\mu$ را در نظر گرفت. این سهم شامل حاصل ضرب احتمال تشکیل مولکول میون دار در احتمال انجام همچوشی، که منجر به تولید ذره α می‌شود، در ضریب چسبندگی موثر آن همچوشی است.



شکل ۵. نمودار تغییرات ضریب چسبندگی کل با استفاده از فرمول (۱۴) به صورت تابعی از غلظت تریتیوم (c_t) و چگالی (ϕ), برای چرخه حاوی حالت شبه پایدار، در دمای ۳۰۰ K.



شکل ۶. نمودار تغییرات پارامتر آهنگ چرخه (λ_c) به صورت تابعی از غلظت تریتیوم (c_t) و چگالی (ϕ), برای چرخه حاوی حالت شبه پایدار، در دمای ۳۰۰ K.



شکل ۷. نمودار تغییرات ضریب چسبندگی کل با استفاده از فرمول (۲۰) به صورت تابعی از غلظت تریتیوم (c_t) و چگالی (ϕ), برای چرخه حاوی حالت شبه پایدار، در دمای ۳۰۰ K.

$$+ \frac{1}{\lambda_{dt\mu} c_d} (\lambda_{t\mu} c_t \omega_t) \quad (21)$$

و این همان رابطه (۱۴) است. شایان ذکر است که معادله (۲۰) معادله اصلی ضریب چسبندگی کل است و بدون هیچ گونه تقریبی به دست آمده است. به همین دلیل این معادله برای تمام مقادیر c_t و c_d جواب درستی می‌دهد و هرگونه تقریبی که بخواهیم اعمال کنیم باید روی آن معادله انجام شود.

نمودار شکل‌های ۵ و ۶ بار دیگر با استفاده از رابطه (۲۰) رسم شده‌اند. نتایج حاصله در شکل‌های ۷ و ۸ نشان می‌دهد که اولاً w^* در غلظتها زیاد تریتیوم افزایش کمتر و آهسته‌تری دارد، ثانیاً مقدار λ_c در چگالیها و غلظتها بالای تریتیوم نه تنها افزایش ناگهانی ندارد، بلکه مطابق انتظار، کاهش پیدا می‌کند. به عبارت دیگر فرمول جونز (معادله ۲۱) برای ضریب چسبندگی کل فقط تحت شرایطی که c_t یا c_d نزدیک به مقدار صفر یا یک نباشد صادق است و در غلظتها حدی دوتریوم و تریتیوم نزدیک به یک یا صفر باید از رابطه (۲۰) استفاده کرد.

همچنین اگر از غلظتها دوتریوم و تریتیوم در شرایط حدی نزدیک به صفر یا یک استفاده نشود رابطه (۲۰) می‌تواند به صورت زیرنوشته شود.

$$w^* = P_{d1s}^* \frac{c_d \lambda_{dd\mu} / 58}{c_d \lambda_{dd\mu} + c_t \lambda_{dt}} \omega_d + P_{t1s}^* \omega_s + P_{t2s}^* \frac{c_t \lambda_{t\mu} \omega_t}{c_d \lambda_{dt\mu}} + P_{t2s}^* (4/48 \times 10^{-3}) \omega_s^* \quad (22)$$

زیرا علاوه بر $c_d \lambda_{dt\mu}$ داریم $c_d \lambda_{t\mu} < c_t \lambda_{dt\mu}$ حال رابطه (۲۲) می‌تواند با رابطه جونز (۲۱) که بدون در نظر گرفتن حالت مولکول شبه پایدار در همین شرایط به دست آمده است، مورد مقایسه قرار گیرد. برای این منظور لازم است کمیتی‌ای P_{d1s} و P_{t2s} که به ترتیب کسر جمعیتی‌های رسیده به حالت‌های $(1s)(1s)$ و $(2s)(2s)$ هستند، به ازای غلظتها مختلف تریتیوم از رابطه مشابه (۱۰) محاسبه شوند و با مقادیر مشابه در حالت چرخه شامل مولکول شبه پایدار $(1s)(P_{d1s}^*, P_{t1s}^*)$ و $(2s)(P_{t2s}^*)$ مقایسه شوند. شکل ۹ نشان می‌دهد که:

حال می‌توان با استفاده از این نتایج، رابطه (۲۲) را مورد بررسی قرار داد.

اولاً از جمله آخر در این رابطه می‌توان نسبت به جملات دیگر صرف نظر کرد. زیرا P_{t1s}^* کوچکتر از P_{d1s}^* و $\lambda_{dt\mu}$ است و ω_s^* که ضریب چسبندگی موثر بعد از همجوشی در مولکول است، کوچکتر از دیگر ضرایب چسبندگی ω_t و ω_d است [۱۶]. پس اگر P_{t1s}^* در یک ضریب $4/48 \times 10^{-3}$ باشد شود نسبت به جملات دیگر، کمتر از مرتبه یک هزار است که می‌توان از آن صرف نظر کرد. از طرفی P_{t1s}^* و P_{d1s}^* با تقریب بسیار خوبی برابر هستند و در محدوده غلظتهاي تریتیوم بالاتر از $1/0 < c_t < 1$ می‌توان آن را برابر با یک در نظر گرفت.

به این ترتیب رابطه (۲۲) را به صورت زیر می‌توان تقریب زده:

$$\omega^* = \omega_s + \frac{P_{d1s}^*}{\lambda_{dt\mu} c_t + \lambda_{dd\mu} c_d} (0/08 \lambda_{dd\mu} c_d \omega_d) + \frac{\lambda_{dt\mu} c_t \omega_t}{c_d \lambda_{dt\mu}} \quad (23)$$

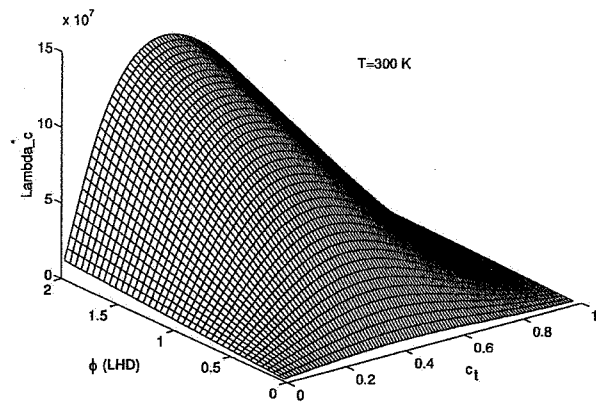
که از نظر شکل با رابطه جونز (۲۱) یکی است. پس تنها اثری که در نظر گرفتن مولکول شبه پایدار روی ضریب چسبندگی کل در شرایط ذکر شده روی c_t و c_d دارد، تغییر در مقدار P_{d1s}^* است که بزرگتر شده و باعث افزایش ضریب چسبندگی کل می‌گردد.

۵. اثر حالت شبه پایدار روی آهنگ چرخه (λ_c) و

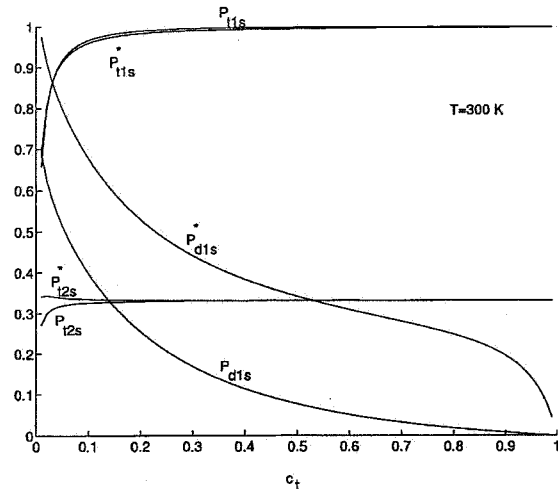
بهره چرخش میون (λ)

علاوه بر پارامتر c_{1s} ، که با نتایج تجربی در توافق نیست و در قسمت قبل با در نظر گرفتن حالت شبه پایدار توصیف شد، پارامترهای λ و λ_c با نتایج تجربی تطابق ندارند [۳ و ۱۳]. در ادامه این مقاله تاثیر حالت شبه پایدار را در مقادیر آهنگ چرخه و بهره چرخش میون بررسی کردہ ایم.

با استفاده از حل معادلات سینماتیکی چرخه حاوی حالت شبه پایدار و ضریب چسبندگی کل، مقدار λ ، برای نمونه در شرایط $K=300$ و چگالی $\phi=1/2$ که نتایج تجربی برای آن در دسترس بوده است [۳]، به صورت تابعی از c_t به دست آمده است. نتایج در نمودار شکل ۱۰ با نتایج به دست آمده از چرخه فاقد حالت شبه پایدار و نقاط تجربی مقایسه شده است. مشاهده می‌گردد، علاوه بر این که مقدار λ با در نظر گرفتن حالت شبه پایدار کاهش پیدا می‌کند، مقدار آن به نتایج تجربی نزدیکتر می‌شود.



شکل ۸. نمودار تغییرات پارامتر آهنگ چرخه (λ_c) به صورت تابعی از غلظتهاي تریتیوم (c_t) و چگالی (ϕ)، برای چرخه حاوی حالت شبه پایدار، براساس رابطه (۲۰) در دمای ۳۰۰ K.



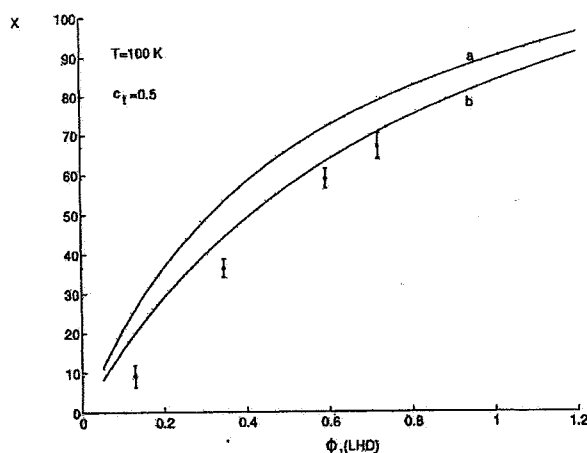
شکل ۹. مقایسه مقادیر کسر جمعیت رسیده به حالتهاي (۱۸) ($d\mu$) و (۲۸) ($d\mu$) در دو حالت بدون در نظر گرفتن مولکول شبه پایدار (P_{t1s} و P_{d1s}) و با در نظر گرفتن مولکول شبه پایدار (P_{t2s} و P_{d2s}) به ازای چگالی $\phi=1/2$.

۱- مقدار P_{t1s} و P_{t2s}^* بسیار نزدیک به یکدیگر به دست می‌آیند.

۲- مقدار P_{t1s} و P_{t2s}^* در حقیقت به ازای $1/0 < c_t < 1$ به یک می‌رسند.

۳- مقدار P_{d1s}^* از مقدار P_{d1s} بزرگتر به دست می‌آید که به دلیل مسیر برگشتی جمعیت به حالت (۱۸) از $d\mu$ از طریق مولکول شبه پایدار است.

۴- مقدار P_{t2s}^* که با در نظر گرفتن حالت مولکول شبه پایدار در رابطه کلی ضریب چسبندگی ظاهر می‌شود کمتر از دیگر کسر جمعیتهاست.

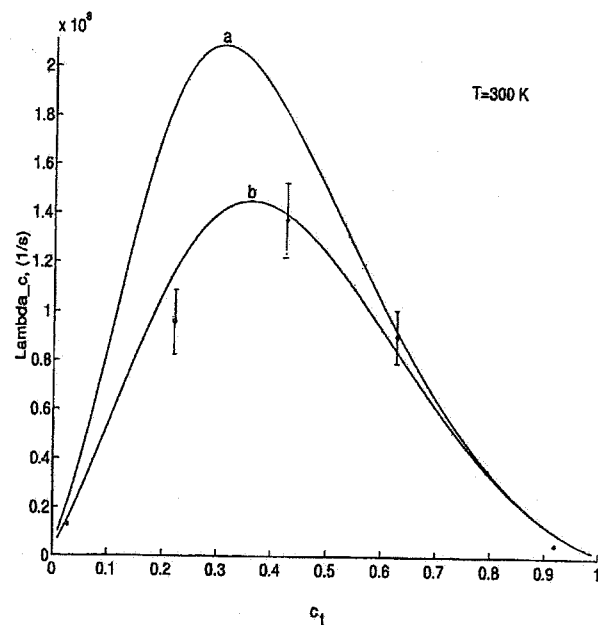


شکل ۱۱. نمودار مقایسه بین مقادیر به دست آمده برای بهره چرخش میون (a) از چرخه حاوی حالت شبه پایدار (b) و چرخه فاقد آن (a) و مقایسه با نتایج تجربی مرجع [۱۳] در چگالیهای مختلف، در دمای ۱۰۰ K و غلظت تریتیوم $c_t = 0.5$

بنابراین سه پارامتر مهم که می‌توانند نقش اساسی در بهره همجوشی داشته باشند چگالی محیط، دما و غلظت نسبی تریتیوم و دوتربیوم است که برای رسیدن به بهره انرژی بیشینه باید مقدار این سه پارامتر به طور بهینه تعیین گردد.

محاسبات ما که بعضی از نتایج آن در شکل‌های ۷ و ۸ ارایه شده است نشان می‌دهد که افزایش چگالی علاوه بر کاهش ضریب چسبندگی کل موجب افزایش آهنگ تشکیل اتمی و مولکولی شده و در نهایت آهنگ چرخه و بهره چرخش میون را افزایش می‌دهد. پس این پارامتر در حد امکانات تکنولوژیکی هر اندازه بیشتر باشد بهره انرژی بیشتری را به دست خواهد داد. برای تعیین شرایط بهینه دما و غلظت نسبی ایزوتوبهای هیدروژن، آهنگ چرخه (λ_c) و بهره چرخش میون (X) را براساس چرخه کاملتر که شامل مولکول شبه پایدار است در دماهای مختلف به صورت تابعی از غلظت تریتیوم محاسبه و در شکل‌های ۱۲ و ۱۳ رسم کرده‌ایم. مشاهده می‌گردد که افزایش دما به خصوص از دماهای ۴۰۰ K تا ۶۰۰ K باعث افزایش بهره همجوشی می‌شود که دلیل آن را می‌توان به صورت زیر توضیح داد.

در دماهای ۲۰۰ و ۳۰۰ K، گرچه شاهد کاهش تولید مولکول شبه پایدار هستیم [۷]، اما افزایش تولید مولکولهای $d\mu$ و $t\mu$ نیز وجود دارد [۱۷] در حالی که افزایش چشمگیری در تولید مولکول $d\mu$ رخ نمی‌دهد [۴] و در نتیجه تعداد همجوشیها در این دماها نزدیک به منحنی ۱۰۰ K باقی



شکل ۱۰. نمودار مقایسه‌ای بین نتایج به دست آمده از چرخه حاوی حالت شبه پایدار (b) و چرخه فاقد آن (a) برای پارامتر آهنگ چرخه (λ_c) و مقایسه با نتایج تجربی مرجع [۳] در دمای ۳۰۰ K و چگالی $c_t = 1/2$

همچنین پارامتر بهره چرخش میون (X) نیز برای چرخه‌های حاوی حالت شبه پایدار و فاقد آن در نمودار شکل ۱۱ مقایسه شده است. این شکل نیز برای دمای ۱۰۰ K رسم شده است. نمودار شکل ۱۱ نشان می‌دهد که مقدار X با در نظر گرفتن حالت شبه پایدار کاهش می‌یابد و به نتایج تجربی نزدیکتر می‌شود.

۶. تعیین شرایط بهینه همجوشی کاتالیزور میونی در قسمتهای قبل نشان دادیم که در نظر گرفتن مولکول شبه پایدار می‌تواند در مقادیر چسبندگی کل و بهره چرخش میون اثر داشته باشد که به صورت افزایش چسبندگی کل و کاهش در مقادیر $d\mu$ و $t\mu$ به دست آمد. باید توجه داشت که آهنگ تشکیل مولکول شبه پایدار نسبت به دما متغیر است [۷]. همچنین آهنگ بعضی از فرایندهای درگیر در همجوشی کاتالیزور میونی (شکل ۱) از جمله تشکیل مولکول $d\mu$ و $t\mu$ نیز به دما وابسته هستند [۴ و ۱۷]. پارامتر دیگری که در آهنگ واکنشهای درگیر در همجوشی نقش مؤثری دارد چگالی محیط است [۱]. از طرفی غلظتهاهای تریتیوم و دوتربیوم نیز در مقدار بهره چرخش میون و آهنگ چرخه مؤثر است که در معادلات سینماتیکی (۵) مشخص است.

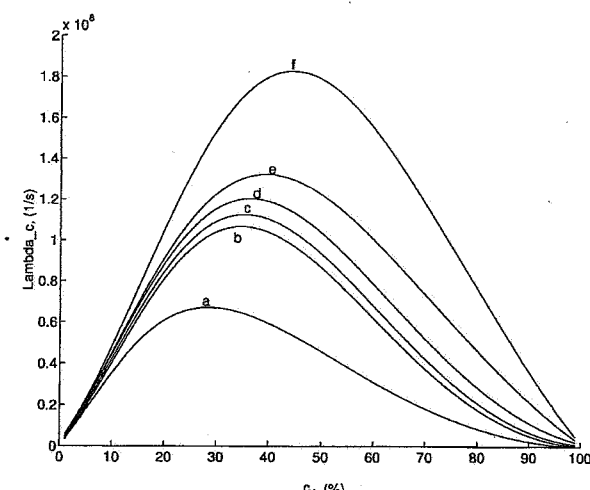
تولید و همجوشی کم و چسبندگی زیاد دارند کاهاش می‌یابد. همچنین با کاهاش تولید مولکولهای شبه پایدار در دماهای بالا اثر منفی این مولکول بر بهره همجوشی کاهاش می‌یابد. مشاهده می‌گردد که در دماهای مختلف شرایط بهینه روی c_1 برای رسیدن به بیشینه مقدار λ_c یا λ فرق می‌کند. با افزایش دما به ازای دماهای کارکرد مورد نظر می‌توان از روی نمودار، بهینه را به دست آورد. با افزایش دما مقدار بهینه افزایش می‌یابد.

۷. نتیجه

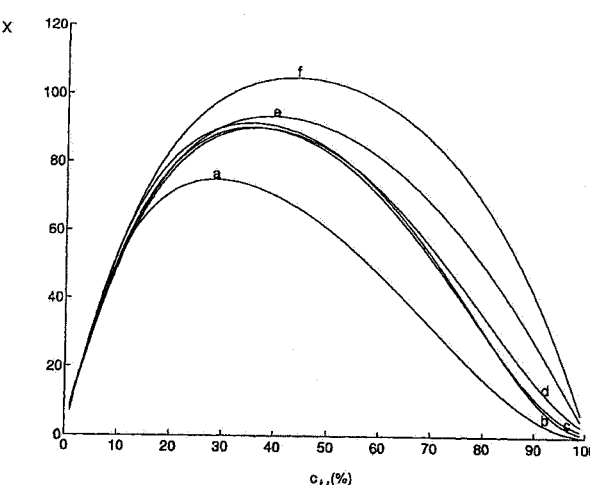
در این مقاله ابتدا معادلات سینماتیکی حاکم بر چرخه همجوشی کاتالیزور میونی با فرض وجود حالت شبه پایدار ارایه شد. این معادلات یک دستگاه معادلات دیفرانسیل جفت شده خطی هستند که به روش ماتریسی حل شده‌اند [۹]. مزیت این روش بر روشهای عددی حل معادلات دیفرانسیل، مثل روش اجزا محدود، در این است که شکل کلی جواب به طور تحلیلی مشخص است و کافی است با محاسبات ماتریسی، ضرایب ثابتی را که در جواب وجود دارند، محاسبه کرد. تمام متغیرهای موجود در چرخه، مثل جمعیتهای اتمی و مولکولی میون دار، به صورت تابعی از زمان به دست آمده‌اند. سپس روشی برای تعیین پارامترهای مختلف موثر در بهره همجوشی، مثل P_{18} , q_{18} , w و λ_c ارایه شده است. این پارامترها با استفاده از جوابهای به دست آمده از سینماتیک چرخه به طور مستقیم محاسبه شده‌اند.

در این تحقیق نشان دادیم که روابط موجود برای P_{18} , q_{18} و w در کارهای دیگران [۲, ۳ و ۵] برای چرخه قادر حالت شبه پایدار نوشته شده‌اند. لذا از این روابط نمی‌توان برای محاسبه براساس چرخه حاوی حالت شبه پایدار استفاده کرد. از جمله نشان دادیم که مفهوم پارامتر q_{18} در چرخه حاوی حالت شبه پایدار دیگر معتبر نیست و باید از پارامتر P_{18} به جای آن در روابط استفاده کرد. وجود حالت شبه پایدار، همان‌طور که انتظار داریم، مقدار P را افزایش داده است (شکل ۴). زیرا توسط مسیر جانبی حالت شبه پایدار یک جمعیت برگشتی به حالت پایه دو تریوم ایجاد می‌شود.

همچنین استفاده از روابط قبلی برای w [۱۳] باعث بزرگ شدن مقدار پارامترهای w و λ در شرایط $c_1 \approx 1$ می‌شود که دور از انتظار است. لذا ضریب چسبندگی کل به طور اساسی مورد بررسی قرار گرفت و اثر حالت مولکول شبه پایدار در آن نیز در نظر گرفته شد. نشان دادیم که با استفاده از رابطه اساسی ضریب



شکل ۱۲. مقایسه مقادیر آهنگ چرخه با درنظر گرفتن مولکول شبه پایدار (λ_c^*) در دماهای مختلف K. a: ۳۰۰ K, b: ۴۰۰ K, c: ۵۰۰ K, d: ۶۰۰ K, e: ۷۰۰ K و f: ۸۰۰ K در مقادیر مختلف غلظت تریتیوم به ازای چگالی $\phi = 1$.



شکل ۱۳ مقایسه مقادیر ضریب چرخش میون با درنظر گرفتن مولکول شبه پایدار (χ) در دماهای مختلف K. a: ۳۰۰ K, b: ۴۰۰ K, c: ۵۰۰ K, d: ۶۰۰ K, e: ۷۰۰ K و f: ۸۰۰ K در مقادیر مختلف غلظت تریتیوم به ازای چگالی $\phi = 1$.

می‌ماند. اما در دماهای K ۴۰۰ و ۵۰۰ با شروع کاهاش تولید مولکولهای $dd\mu$ و $t\mu$ و ادامه کاهاش تولید مولکول شبه پایدار، تولید مولکول افزایش قابل توجهی یافته و در نتیجه شاهد افزایش تعداد همجوشی هستیم. پس با افزایش دما نقش مولکول $dd\mu$ ، که بیشترین آهنگ تولید و همجوشی و کمترین چسبندگی را دارد در چرخه همجوشی افزایش یافته و نقش مولکولهای $dd\mu$ و $t\mu$ که آهنگ

به ۹ است؛ پس بیشتر جمعیت حالت $\frac{dt}{d\mu} \mu^*$ به حالت (۱۸) متغیر می‌شود. به این ترتیب علاوه بر ایجاد جمعیت اضافه در این حالت، باعث انتقال میون‌ها از چرخه سریعتر و موثرتر تریتیوم به چرخه کندر و چسبندگی‌تر دوتریوم می‌شود. این امر ضمن افزایش ضریب چسبندگی کل، باعث کاهش مقادیر λ و λ' خواهد شد.

نشان دادیم که نتایج به دست آمده برای λ و λ' از چرخه حاوی حالت شبه پایدار به نتایج تجربی نزدیکتر است. لذا چرخه حاوی حالت شبه پایدار چرخه کاملتری برای μ_{CF} در سوخت T/D است.

در آخر شرایط بهینه برای رسیدن به بیشترین بهره انژی را با فرض وجود حالت شبه پایدار مورد بررسی قرار داده، به دست آوردم که در حد امکانات تکنولوژیکی هر اندازه چگالی محیط افزایش یابد بهره چرخش میون و در نتیجه بهره انژی افزایش می‌یابد. همچنین نشان دادیم که افزایش دما بخصوص از K_{400} به بالا از طریق افزایش آهنگ تشکیل مولکول $d\mu/dt$ و کاهش حالت شبه پایدار که نقش منفی در آهنگ چرخه دارد باعث افزایش بهره می‌گردد.

مقدار بهینه μ نیز با افزایش دما افزایش می‌یابد و به ازای دمای کارکرد مورد نظر می‌توان از روی نمودار ۱۲ و ۱۳ بهینه μ را به دست آورد.

چسبندگی (معادله ۲۰)، این ناسازگاریها در مقدار پارامترهای w و λ مشاهده نمی‌شود.

ما باید نشان می‌دادیم که با فرض مولکول شبه پایدار، از چه رابطه‌ای برای ضریب چسبندگی کل باید استفاده کرد و آیا هنوز رابطه جونز (معادله ۲۱) معتبر است؟ پس با استفاده از رابطه اساسی ضریب چسبندگی کل (۲۰) این ضریب در حالت دور از شرایط حدی (c_0 و c_1 بسیار کوچک و یا نزدیک به یک نباشند) و با فرض وجود حالت شبه پایدار به دست آمد (معادله ۲۲). این رابطه با رابطه ارایه شده توسط آقای جونز (معادله ۲۱) قابل مقایسه است. با استفاده از نتایج شکل ۹ نشان دادیم که در حالتی که مولکول شبه پایدار را در نظر بگیریم هنوز می‌توان از رابطه (۲۱) استفاده کرد. البته با توجه به این نکته که غلط تریتیوم باید بزرگتر از ۱۰٪ باشد. در غیر این صورت باید از رابطه (۲۰) استفاده کرد (البته هنوز می‌توان از جمله آخر صرف نظر کرد).

در ادامه مقدار آهنگ چرخه و بهره چرخش میون را برای دو چرخه حاوی حالت شبه پایدار و قادر آن، با استفاده از روابط تصحیح شده، مقایسه کردیم. نشان دادیم که مقدار این پارامترها با در نظر گرفتن حالت شبه پایدار مولکول $d\mu/dt$ کاهش می‌یابد. دلیل فیزیکی آن را می‌توان به صورت زیر توضیح داد: با توجه به این که نسبت بین واکنشهای (a-۲) و (b-۲)، ۱

مراجع

10. L I Menshikov and L I Ponomarev, *JETP Lett.*, **39** (1984) 663.
11. L I Ponomarev and C Petitjean, *Fusion Tech.*, **20** (1991) 1022.
12. M Kamimura and E Hiama, and Y Kino, *Hyp. Int.*, **118/119** (1999).
13. S E Jones. "Survey of experimental results in Muon-Catalyzed fusion", AIP Conference Proceedings, Muon Catalyzed Fusion, **181**, pp. 2, 1989.
14. L I Men'shikov and L I Ponomarev, *JETP Lett.*, **41** (1985) 623.
15. Y Kino and M Kamimura, *Hyp. Int.*, **101/102** (1996) 191.
16. P Froelich and A Flores-Riveros, *Phys. Rev. Lett.* **70** (1993) 1595.
17. J Zmeskal and P Kammel, *Phys. Rev. A*, **42** (1990) 1165.
1. P Froelich, *Advances in Phys.*, **41**, No. 5(1992) 405-508.
2. P Ackerbauer, et al., *Hyp. Int.*, **82** (1993) 357.
3. J Wallenius and P Froelich, *Phys. Lett. A*, **206** (1995) 73-80.
4. S E Jones and A N Anderson, et al., *Phys. Rev. Lett.*, **56**, No. 6 (1986) 588.
5. W Czaplinski, et al., *Phys. Rev. A*, **50** (1994) 525.
6. A N Anderson, "Investigation of q_{1s} ", AIP conference Proceedings, Muon Catalyzed Fusion, **181**, pp. 57, 1989.
7. J Wallenius and P Froelich, *Phys. Rev. A*, **54**, No. 2 (1996) 1171.
8. Y Kino and M Kamimura, *Hyp. Int.*, **101/102** (1996) 191-196.
9. S Z Kalantari, "Efficiency of The Muon Catalyzed Fusion in Triple H/D/T Mixtures", *Hyperfine Interactions*, **128**, NO. 4(2000), 481-493.

- D-T Fusion", AIP Conference Proceedings,
Muon Catalyzed Fusion, 181, pp. 105, 1989.
18. S Eliezer, Z Henis, *Fusion Tech.* 26 (1994) 46.
19. B Muller and J Rafelski, "Possible Influence of
Vacuum Polarization on Q_{1s} In Muon catalyzed